

УДК 621.86.001.66

© 2004 г. **Джолдасбеков У.А., Джолдасбеков С.У., Темирбеков Е.С., Савельев Е.Н.**

ТЕОРЕТИЧЕСКИЙ И ЭКСПЕРИМЕНТАЛЬНЫЙ СИЛОВОЙ АНАЛИЗ ШАРНИРНО-РЫЧАЖНОГО ПОДЪЕМНИКА

Представлены результаты теоретического и экспериментального исследования шарнирно-рычажного подъемника. Анализ результатов показал эффективность применения метода конечных элементов по сравнению с кинетостатическим расчетом. Результаты расчета сравниваются с экспериментальными.

Теоретическое исследование шарнирно-рычажных механизмов традиционно начинается с определения структуры. Затем определяются кинематические и другие параметры. Для оценки работоспособности, определения оптимальных сечений элементов конструкции и выбора необходимых материалов проводится силовой расчет.

Методы аналитической кинетостатики основаны на сведении задачи определения сил реакций в кинематических парах и уравновешивающей силы к решению систем линейных алгебраических уравнений равновесия звеньев. Кинетостатический анализ механизма проводится для определения движущей силы или момента (в зависимости от вида ведущего звена), приложенных к ведущему звену, и реакций в кинематических парах при известной полезной нагрузке, приложенной в рабочей точке. Рассматриваемые равновесия всех звеньев механизма в совокупности дают систему линейных алгебраических уравнений относительно неизвестных реакций. Условия равновесия звеньев механизма приводятся к линейной системе уравнений, решая которую находим реакции в шарнирах.

В некоторых случаях силовой анализ шарнирно-рычажных механизмов представляет значительные трудности, так как приходится учитывать, что трехмерная кинематическая схема реальной конструкции, согласно формуле Малышева, формально обладает избыточным числом геометрических связей. Наличие избытка этих связей в кинематических схемах можно обнаружить практически в любом реальном шарнирно-рычажном механизме.

Для силового анализа при наличии избыточных связей обычно используется метод конечных элементов (МКЭ) в варианте перемещений. В данной методике исследуемая трехмерная конструкция разбивается на конечные стержневые элементы, соединенные в узлах. Решение на всей области определяется через узловые значения с помощью функций форм. При этом решаются краевые задачи механики деформируемого твердого тела.

Из решения краевых задач определяются функции перемещений по длине стержневых элементов, с помощью которых находятся компоненты усилий в узлах.

Шарнирно-рычажные механизмы используются во многих отраслях промышленности. Способность этих механизмов воспроизводить строго заданную траекторию движения рабочего органа при одном приводе дало возможность использовать их в качестве манипуляционных и подъемных устройств. На базе теоретических исследований кинематики, кинетостатики и теории прочности разработаны и изготовлены различные конструкции шарнирно-рычажных механизмов: подъемные устройства, грузозахватные механизмы, манипуляторы и другие устройства IV, III и II классов [1].

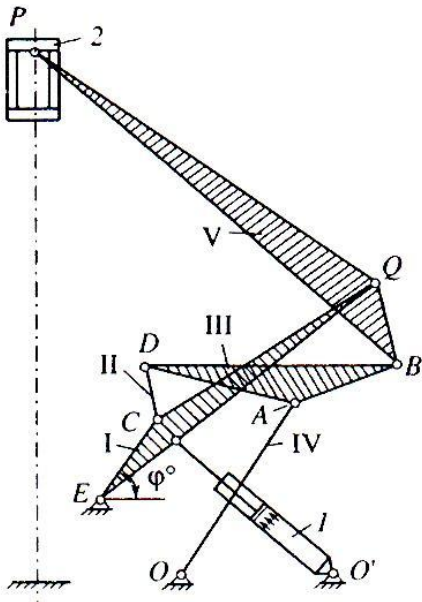


Рис. 1

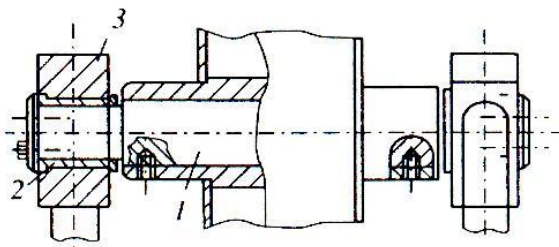


Рис. 2

Основной особенностью действующих шарнирно-рычажных механизмов является то, что при структурном, кинематическом и силовом исследовании чаще всего применяется плоская модель. При конструировании и изготовлении механизмов приходится исходить из того, что для фактической работоспособности, оптимальной грузоподъемности, устойчивости и прочности их конструкции представляют собой шарнирно-рычажные механизмы пространственной топологии. Это значит, что практически каждое из звеньев разнесено в пространстве и имеет не менее двух параллельных звеньев, а в шарнирном узле (кинематической паре) соединяются не только два, но три и более звеньев.

Спроектированный и изготовленный опытный образец шарнирно-рычажного подъемника ВШД-8 предназначен для подъема людей и грузов при производстве ремонтных, строительно-монтажных, отделочных и других видов работ на высоте. С целью уточнения теоретических данных силового расчета, проверки технических параметров и оценки работоспособности подъемника ВШД-8 проведены экспериментальные исследования [2].

Технические характеристики подъемника ВШД-8: высота подъема пола рабочей площадки от земли 6,5 м; грузоподъемность 150 кг; отклонение рабочей площадки от вертикальной прямой при подъеме не более 0,2 м; тип привода электро-гидравлический; габариты в транспортном положении (длина, ширина, высота) 4,4, 1,2, 2,2 м; масса 1000 кг.

Целью экспериментальных исследований шарнирно-рычажного подъемника ВШД-8, в основу которого положен механизм III класса, являлось определение попеченных нагрузок в шарнирных узлах (кинематических парах) в зависимости от величины поднимаемого груза и его положения относительно движения ведущего звена. Кинематическая схема подъемника приведена на рис. 1. Подъемник имеет один привод – гидроцилиндр 1. Рабочий орган – подъемная площадка 2 совершает строго вертикальное движение, что является главным назначением данной конструкции. Объектом исследования являлись шарнирные узлы *B*, *C*, *D*, *Q*. Схема конструкции шарнирных узлов приведена на рис. 2. Шарнирный узел состоит из ступенчатой стальной оси 1, помещенной в опоры скольжения 2, которые запрессованы в корпус 3, приваренные к звеньям подъемника.

Средством измерения усилий в шарнирных узлах являлись тензорезисторы, расположенные на тензометрических осях. Тензометрические оси представляют собой

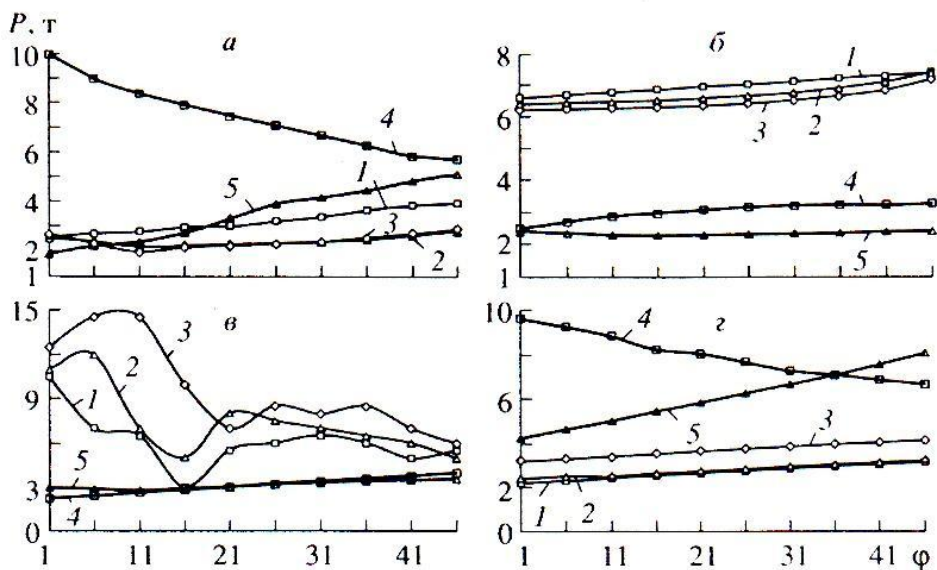


Рис. 3

аналоги рабочих осей подъемника с наклеенными на них определенным образом тензодатчиками, позволяющими определять величины деформаций изгиба, растяжения–сжатия и кручения. Анализ работы шарнирно-рычажных механизмов показывает, что передача нагрузки от звена к звену происходит через ось шарнирного узла, которая воспринимает, в зависимости от конструктивных особенностей и назначения, деформации изгиба, растяжения–сжатия и кручения. Для данной конструкции наиболее выраженной и определяемой является деформация изгиба оси шарнирного узла.

Тарировку тензометрических осей проводили на специально изготовленном тарировочном стенде. С его помощью получены зависимости деформаций изгиба тензометрических осей от величины приложенной поперечной нагрузки, в условиях близких к условиям работы на реальной модели шарнирного узла подъемника. После проведения тарировки, тензометрические оси были помещены в шарнирные узлы B , C , D , Q подъемника вместо его рабочих осей.

На рис. 3 кривыми 1, 2, 3 показаны экспериментальные зависимости усилий в шарнирных узлах B , C , D , Q от угла ϕ ведущего звена при работе с грузом 100, 200, 300 кГ и расчетные зависимости, полученные методом кинетостатики (кривые 4) и методом МКЭ при работе с грузом 200 кГ.

Сравнивая экспериментальные и теоретические значения поперечной нагрузки в шарнирных узлах ВШД-8 можно сделать следующие выводы. Результаты, полученные МКЭ [3] для шарнирных узлов B и Q (рис. 3, а, г), имеют качественный схожий характер и близкие численные значения с экспериментальными результатами. Это объясняется учетом при расчете конструктивных параметров физико-механических свойств применяемых материалов и пространственной топологии конструкции. Результаты, полученные методом кинетостатики для шарнирных узлов B , C и Q ни качественно, ни количественно не совпадают с экспериментальными данными. Это объясняется тем, что расчетная модель – плоская, и при расчетах не учитывали конструктивные особенности и механические свойства применяемых материалов.

Для шарнирного узла D (рис. 3, в) теоретические и экспериментальные данные не имеют ни качественной, ни количественной схожести. Более того, при пропорциональном увеличении полезной нагрузки не наблюдается тенденции к возникновению качественно подобного семейства экспериментальных кривых. Это происходит из-за значительной упругой деформации данного шарнирного узла и элементов конструкции.

Для шарнирного узла С (рис. 3, б) теоретические и экспериментальные данные численно имеют большие расхождения. Это происходит также из-за значительной упругой деформации данного шарнирного узла и элементов конструкции.

Для всех шарнирных узлов наблюдается тенденция сближения теоретических и экспериментальных значений в конечной стадии подъема механизма. Это связано с уменьшением влияния особых положений, влияний перекосов и неточностей, допущенных при изготовлении и "раскрытии" механизма.

СПИСОК ЛИТЕРАТУРЫ

1. Джолдасбеков У.А., Баугунчеков Ж.Ж. Механизмы и манипуляционные устройства высоких классов. Алматы: Эверо, 1996. 36 с.
2. Савельев Е.Н. Разработка методики экспериментального определения силовых и кинематических параметров подъемных устройств на базе механизмов высоких классов: Автотеф. на соиск. ... к.т.н. Алматы: ИММаш, 1999. 160 с.
3. Джолдасбеков С.У., Темирбеков Е.С. Определение усилий в конструкциях МВК пространственной топологии. Теория и численная компьютерная реализация. Деп. в КазгосИНТИ. 6.02.1996. № 6700-КА96. 209 с.

Алматы

Поступила в редакцию 3.Х.2004